

# Computergrafik

– für Bachelor-Studierende –

Prof. Dr. Aris Christidis

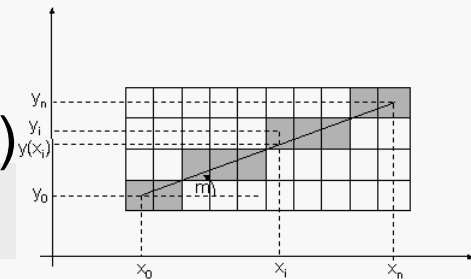
SS 2011

– Auszug –

# Gerasterte Linien

(n+1) Punkte einer gerasterten Geraden zw.  $(x_0, y_0)$  u.  $(x_n, y_n)$   
– hier verwendete Notation:

$x_i$ : Abszisse des i-ten Rasterpunktes ( $x_i \in \mathbf{N}_0$ )  
 $x_{i+1} = x_i + 1 \Leftrightarrow x_{i+j} = x_i + j$



$y(x_i)$ : zu  $x_i$ , gehörige, mathem. exakte Ordinate ( $y(x_i) \in \mathbf{R}$ )

$y_i$ : zu  $x_i$  gewählte („optimale“) Raster-Ordinate ( $y_i \in \mathbf{N}_0$ )

Annahme:  $y(x_0) = y_0$  ;  $y(x_n) = y_n$

$\Delta x = x_n - x_0$  ;  $\Delta y = y(x_n) - y(x_0) = y_n - y_0$

Geradensteigung:  $m = \Delta y / \Delta x = [ y(x_i) - y_0 ] / [ x_i - x_0 ]$   $i=1, \dots, n$

Berechnung der Ordinaten ( $\in \mathbf{R}$ ) aus Pixelgrößen ( $\in \mathbf{N}_0$ ):

$$y(x_i) = m \cdot (x_i - x_0) + y_0$$

Folgepixel:  $y(x_{i+1}) = y(x_i + 1) = m \cdot (x_i + 1 - x_0) + y_0$

# Gerasterte Linien

$$\begin{aligned}y(x_{i+1}) - y(x_i) &= m (x_i + 1 - x_0 - (x_i - x_0)) + y_0 - y_0 \\ &= m\end{aligned}$$

$$\begin{aligned}\Rightarrow \quad y(x_{i+1}) &= y(x_i) + m \\ &= y_0 + (i+1) \cdot m\end{aligned}$$

Digital Differential Analyzer

(DDA)

```
void BruteForceLine (int x0,int y0,int xn,int yn)
{
  int    x=x0;
  float  y=(float)y0, m=(float)(yn-y0)/(xn-x0);

  for (x=x0; x<=xn; x++,y+=m)
    setPixel (x, (int)y);

  return;
}
```

*t* nsec / floatOp \* *f* floatOps / Umrißpixel  
\* *p* Umrißpixel / Dreieck \* *d* Dreiecke / Szene  
ergeben, falls: *t*=10; *f*=1; *p*=100; *d*=100.000  
eine (unnötige) Wartezeit von 0,1 sec / Szene !

Wunsch: Von Pixel-Koordinaten (gerundet,  $\in \mathbf{N}_0$ ) mit  
Ganzzahl-Arithmetik auf Folgepixel schließen

# Gerasterte Linien

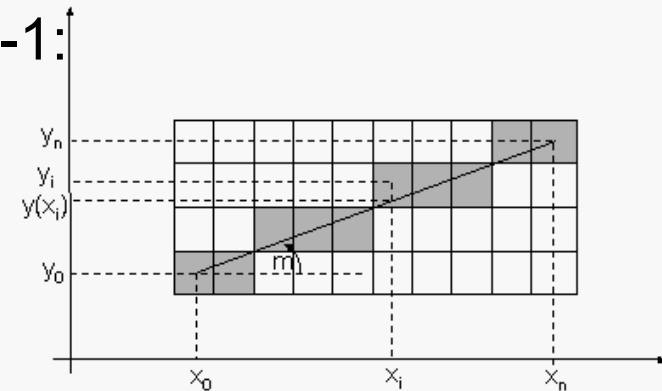
Hinzunahme von Folgepixel (i+1), i=1,...,n-1:

$$\begin{aligned} \text{(DDA)} \quad \Rightarrow \quad y(x_{i+1}) &= y(x_0+i+1) \\ &= y_0 + (i+1) \cdot \Delta y / \Delta x \end{aligned}$$

Weiter nach Osten ( $y_{i+1} = y_i$ ),

wenn:  $y_0 + (i+1) \cdot \Delta y / \Delta x < y_i + 1/2$

– sonst weiter nach Nordosten ( $y_{i+1} = y_i + 1$ )



[  $y_i$  ist (ganzzahlig) nicht berechenbar! ]

Ost, wenn:  $(i+1) \cdot \Delta y / \Delta x < y_i - y_0 + 1/2$

N := Anzahl bisheriger Nordost-Entscheidungen

$$= y_i - y_0$$

E := Anzahl bisheriger Ost-Entscheidungen

[ N, E: nicht berechenbar – aber zählbar ! ]

$$N + E = i$$

(Wdhlg. :) Ost, d.h.  $y_{i+1} = y_i$ , wenn

$$(i+1) \cdot \Delta y / \Delta x < y_i - y_0 + 1/2$$

$$(N+E+1) \cdot \Delta y / \Delta x < N + 1/2$$

$$2 \cdot N \cdot \Delta y + 2 \cdot E \cdot \Delta y + 2 \cdot \Delta y < 2 \cdot N \cdot \Delta x + \Delta x$$

$$\underbrace{N \cdot 2 \cdot (\Delta y - \Delta x) + E \cdot 2 \cdot \Delta y + 2 \cdot \Delta y - \Delta x}_{\mathbf{d}} < 0$$

**d**

Zur Erinnerung: Bei der ersten Entscheidung  $\Leftrightarrow i = N = E = 0$   
„Ost-Bedingung“:  $2\Delta y - \Delta x < 0$

Bresenham's Strategie: Einrichtung einer „decision variable“ **d**, die mit  $2 \cdot \Delta y - \Delta x$  initialisiert und nach jeder Folge-Entscheidung um  $2\Delta y$  (Ost) bzw.  $2 \cdot (\Delta y - \Delta x)$  (Nordost) erhöht wird.

## Besonderheiten / Vorzüge des Bresenham-Algorithmus

(„Bresenham's algorithm for scan-converting straight lines“):

- Nutzung der Tatsache, daß Pixel diskret sind:  
$$x_{i+1} = x_i + 1 \Rightarrow x_{i+j} = x_i + j \Rightarrow y(x_j) = y_0 + j \cdot m$$
- Verknüpfung algorithmischer Vorgänge (Entscheidungen) mit Variablen-Werten:  
$$N = y_i - y_0 ; N + E = i$$
- Entscheidung über Hinzunahme von Folgepixel anhand des zuletzt gesetzten Pixels (ohne Geraden-Steigung  $m$ )
- Ganzzahlige Addition und Subtraktion
- Je Linie nur 3 ganzzahlige Multiplikationen mit 2 (Hw!)
- Erweiterbar auf Kreise und Ellipsen (in obiger Form)
- Repetierbar u. (grundsätzlich) in der Richtung umkehrbar (Löschung mit Hintergrund-Farbe)
- Läßt in obiger Version den letzten Punkt aus (Polygone: letzter Punkt = erster  $\Rightarrow$  Flimmern, Löcher im Papier)

# 2D-Punkt-Transformationen

Zur Erinnerung – Drehung eines beliebigen Punktes  $B'$  um den Winkel  $\theta$  um den Koordinaten-Ursprung zum Punkt  $B''$ :

$$x_{B'} = r \cdot \cos \alpha$$

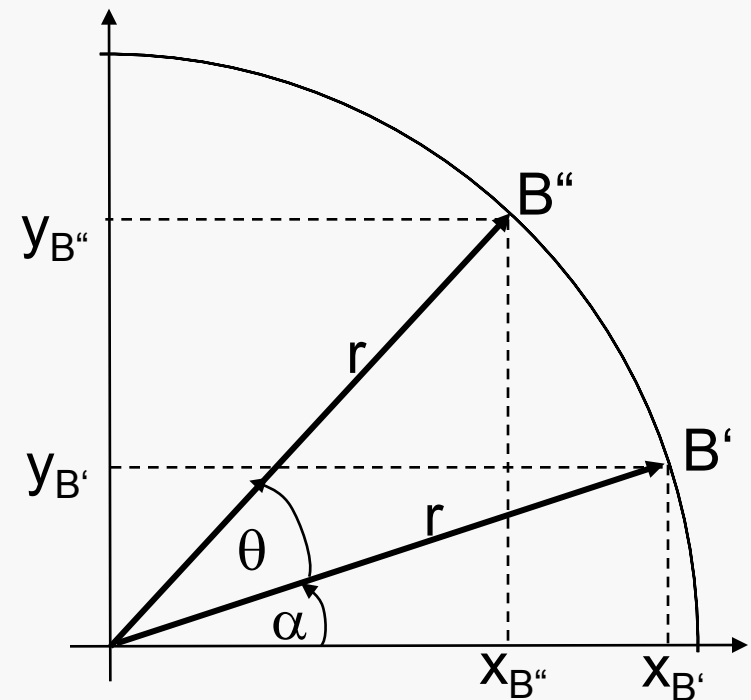
$$y_{B'} = r \cdot \sin \alpha \quad [r, \alpha: \text{Hilfsgrößen}]$$

$$\begin{aligned} x_{B''} &= r \cdot \cos(\alpha + \theta) \\ &= r \cdot (\cos \alpha \cos \theta - \sin \alpha \sin \theta) \\ &= x_{B'} \cdot \cos \theta - y_{B'} \cdot \sin \theta \end{aligned}$$

$$\begin{aligned} y_{B''} &= r \cdot \sin(\alpha + \theta) \\ &= r \cdot (\sin \alpha \cos \theta + \cos \alpha \sin \theta) \\ &= x_{B'} \cdot \sin \theta + y_{B'} \cdot \cos \theta \end{aligned}$$

In Matrizen-Schreibweise:

$$\begin{pmatrix} x_{B''} \\ y_{B''} \end{pmatrix} = \begin{pmatrix} \cos \theta & -\sin \theta \\ \sin \theta & \cos \theta \end{pmatrix} \begin{pmatrix} x_{B'} \\ y_{B'} \end{pmatrix}$$



$$\begin{aligned} \sin(\alpha + \beta) &= \sin \alpha \cos \beta + \cos \alpha \sin \beta \\ \cos(\alpha + \beta) &= \cos \alpha \cos \beta - \sin \alpha \sin \beta \end{aligned}$$

# 2D-Punkt-Transformationen

Verallgemeinerung: Rotation eines beliebigen Punktes B um den Winkel  $\theta$  um einen beliebigen Punkt C zum Punkt B<sup>''</sup>. Skalierung des Ergebnisses mit den Faktoren  $s_x$  und  $s_y$ .

$$x_{B'} = x_B - x_C$$

$$y_{B'} = y_B - y_C$$

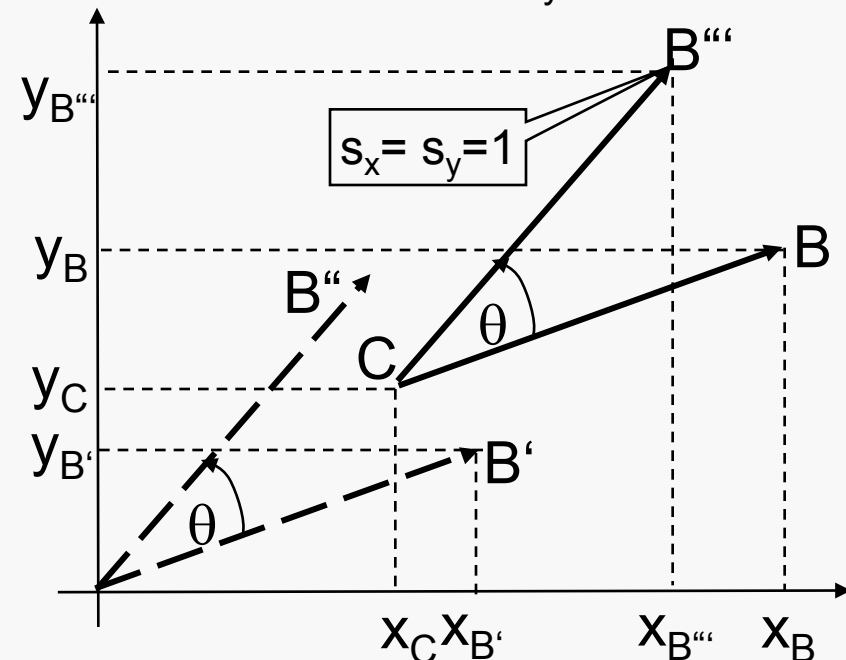
$$x_{B''} = x_{B'} \cdot \cos\theta - y_{B'} \cdot \sin\theta$$

$$y_{B''} = x_{B'} \cdot \sin\theta + y_{B'} \cdot \cos\theta$$

$$x_{B'''} = s_x \cdot (x_{B''} + x_C)$$

$$y_{B'''} = s_y \cdot (y_{B''} + y_C)$$

In Matrizen-Schreibweise:



$$\begin{pmatrix} x_{B'''} \\ y_{B'''} \end{pmatrix} = \begin{pmatrix} s_x & 0 \\ 0 & s_y \end{pmatrix} \cdot \left\{ \begin{pmatrix} x_C \\ y_C \end{pmatrix} + \begin{pmatrix} \cos\theta & -\sin\theta \\ \sin\theta & \cos\theta \end{pmatrix} \cdot \left( \begin{pmatrix} x_B \\ y_B \end{pmatrix} - \begin{pmatrix} x_C \\ y_C \end{pmatrix} \right) \right\}$$



# 2D-Punkt-Transformationen

Erweiterung um eine Dimension ermöglicht die Darstellung der Translation (Verschiebung) als Matrizen-Produkt:

$$x_{B'} = x_B - x_C$$

$$y_{B'} = y_B - y_C$$

„homogene Koordinaten“,  
„homogene Punkt-Darstellung“

$$\begin{pmatrix} x_{B'} \\ y_{B'} \\ 1 \end{pmatrix} = \begin{pmatrix} 1 & 0 & -x_C \\ 0 & 1 & -y_C \\ 0 & 0 & 1 \end{pmatrix} \cdot \begin{pmatrix} x_B \\ y_B \\ 1 \end{pmatrix}$$

Rotation eines Punktes B um  $\theta$  um bel. Punkt C nach B'' und Skalierung mit  $s_x$ ,  $s_y$  in homogenen Koordinaten:

$$\begin{pmatrix} x_{B'''} \\ y_{B'''} \\ 1 \end{pmatrix} = \begin{pmatrix} s_x & 0 & 0 \\ 0 & s_y & 0 \\ 0 & 0 & 1 \end{pmatrix} \cdot \begin{pmatrix} 1 & 0 & x_C \\ 0 & 1 & y_C \\ 0 & 0 & 1 \end{pmatrix} \cdot \begin{pmatrix} \cos\theta & -\sin\theta & 0 \\ \sin\theta & \cos\theta & 0 \\ 0 & 0 & 1 \end{pmatrix} \cdot \begin{pmatrix} 1 & 0 & -x_C \\ 0 & 1 & -y_C \\ 0 & 0 & 1 \end{pmatrix} \cdot \begin{pmatrix} x_B \\ y_B \\ 1 \end{pmatrix}$$

- Zur Erinnerung – einige Rechenregeln d. Matrizenrechnung\*:

$$\underline{A} + \underline{B} = \underline{B} + \underline{A} \quad [\text{Kommutativgesetz d. Matrizenaddition}]$$

$$\underline{A} \cdot (\underline{B} + \underline{C}) = \underline{A} \cdot \underline{B} + \underline{A} \cdot \underline{C} \quad [\text{Distributivgesetz}]$$

$$(\underline{A} \cdot \underline{B}) \cdot \underline{C} = \underline{A} \cdot (\underline{B} \cdot \underline{C}) \quad [\text{Assoziativgesetz}]$$

$$\underline{A} \cdot \underline{B} \neq \underline{B} \cdot \underline{A} \quad [\text{Matrizenprodukt ist nicht kommutativ!}]$$

$$\underline{A} \cdot \underline{B} = \underline{0} \not\leftrightarrow \underline{B} = \underline{0} \vee \underline{A} = \underline{0} !$$

$$\underline{A} \cdot \underline{I} = \underline{I} \cdot \underline{A} = \underline{A} \quad [\underline{I}: \text{„neutrales Element“ d.M.-Multiplikation}]$$

$$\underline{A} \cdot \underline{A}^{-1} = \underline{A}^{-1} \cdot \underline{A} = \underline{I} \quad (\text{falls } \underline{A} \text{ invertierbar!})$$

$$\underline{A} \cdot \underline{x} = \underline{b} \Rightarrow \underline{A}^{-1} \cdot \underline{b} = \underline{A}^{-1} \cdot \underline{A} \cdot \underline{x} = \underline{x} \quad (\text{falls } \underline{A} \text{ invertierbar!})$$

$$(\underline{A} \cdot \underline{B})^{-1} = \underline{B}^{-1} \cdot \underline{A}^{-1} \quad (\text{falls } \underline{A}, \underline{B} \text{ invertierbar!})$$

$$(\underline{A} \cdot \underline{B})^T = \underline{B}^T \cdot \underline{A}^T$$

Wichtiger Spezialfall: Rotationsmatrizen sind orthogonal, d.h.

$$\underline{Q}^{-1} = \underline{Q}^T$$

(\*) unter d. Voraussetzung geeigneter Dimensionierung beteiligter Matrizen

# 2D-Punkt-Transformationen

Verkettung von Punkt-Transformationen und ihren Inversen:

- Translation (Verschiebung): 
$$\begin{pmatrix} 1 & 0 & -x_c \\ 0 & 1 & -y_c \\ 0 & 0 & 1 \end{pmatrix} \cdot \begin{pmatrix} 1 & 0 & x_c \\ 0 & 1 & y_c \\ 0 & 0 & 1 \end{pmatrix} = \begin{pmatrix} 1 & 0 & x_c - x_c \\ 0 & 1 & y_c - y_c \\ 0 & 0 & 1 \end{pmatrix} = \begin{pmatrix} 1 & 0 & 0 \\ 0 & 1 & 0 \\ 0 & 0 & 1 \end{pmatrix}$$

- Skalierung: 
$$\begin{pmatrix} 1/s_x & 0 & 0 \\ 0 & 1/s_y & 0 \\ 0 & 0 & 1 \end{pmatrix} \cdot \begin{pmatrix} s_x & 0 & 0 \\ 0 & s_y & 0 \\ 0 & 0 & 1 \end{pmatrix} = \begin{pmatrix} 1 & 0 & 0 \\ 0 & 1 & 0 \\ 0 & 0 & 1 \end{pmatrix}$$

Spiegelung ist ein Spezialfall der Skalierung!

- Rotation (Drehung): 
$$\begin{pmatrix} \cos(-\theta) & -\sin(-\theta) & 0 \\ \sin(-\theta) & \cos(-\theta) & 0 \\ 0 & 0 & 1 \end{pmatrix} \cdot \begin{pmatrix} \cos\theta & -\sin\theta & 0 \\ \sin\theta & \cos\theta & 0 \\ 0 & 0 & 1 \end{pmatrix} = \begin{pmatrix} 1 & 0 & 0 \\ 0 & 1 & 0 \\ 0 & 0 & 1 \end{pmatrix}$$

$$= \begin{pmatrix} \cos(-\theta)\cos\theta - \sin(-\theta)\sin\theta & -\cos(-\theta)\sin\theta - \sin(-\theta)\cos\theta & 0 \\ \sin(-\theta)\cos\theta + \cos(-\theta)\sin\theta & -\sin(-\theta)\sin\theta + \cos(-\theta)\cos\theta & 0 \\ 0 & 0 & 1 \end{pmatrix}$$

Beobachtungen an der Rotationsmatrix:  
(vor allem an der o./li. 2x2-Untermatrix)

$$\underline{\mathbf{R}} = \begin{pmatrix} \cos\theta & -\sin\theta & 0 \\ \sin\theta & \cos\theta & 0 \\ 0 & 0 & 1 \end{pmatrix}$$

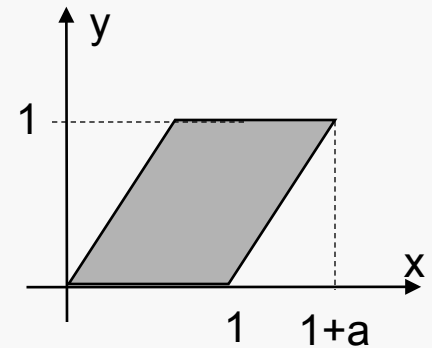
- Jede Zeile u. jede Spalte ist ein Einheitsvektor (Länge=1)
- Sowohl die Zeilen- als auch die Spaltenvektoren stehen jeweils senkrecht aufeinander (Skalarprodukte =0)
- ➔  $\mathbf{R}$  ist orthogonal:  $\mathbf{R}$  ·  $\mathbf{R}^T$  =  $\mathbf{R}^T$  ·  $\mathbf{R}$  =  $\mathbf{I}$   
(<sup>T</sup>: Transposition;  $\mathbf{I}$ : Einheitsmatrix)
- Werden die Einheitsvektoren der Hauptachsen (x,y) mit  $\mathbf{R}$  transformiert, so ergeben sie die Spaltenvektoren von  $\mathbf{R}$ .
- Werden die Zeilenvektoren von  $\mathbf{R}$  mit  $\mathbf{R}$  transformiert, so ergeben sie die Einheitsvektoren der Hauptachsen (x,y).
- ➔ Möglichkeit, aus dem Rotationsergebnis auf die Rotationsmatrix zu schließen!

## Weitere 2D-Transformation: Scherung (engl. *shear*)

Scherung entlang einer Achse verändert dazugehörige Punkt-Koordinaten proportional zur jeweils anderen Koordinate:

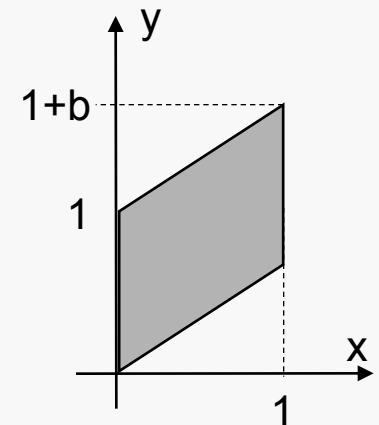
- Scherung eines Einheitsquadrats entlang der x-Achse verändert jeden Punkt  $[x, y, 1]^T$  zu

$[x+ay, y, 1]^T$  mit: 
$$\begin{pmatrix} 1 & a & 0 \\ 0 & 1 & 0 \\ 0 & 0 & 1 \end{pmatrix}$$
 Inverse: 
$$\begin{pmatrix} 1 & -a & 0 \\ 0 & 1 & 0 \\ 0 & 0 & 1 \end{pmatrix}$$



- Scherung des Einheitsquadrats entlang der y-Achse verändert jeden Punkt  $[x, y, 1]^T$  zu

$[x, bx+y, 1]^T$  mit: 
$$\begin{pmatrix} 1 & 0 & 0 \\ b & 1 & 0 \\ 0 & 0 & 1 \end{pmatrix}$$
 Inverse: 
$$\begin{pmatrix} 1 & 0 & 0 \\ -b & 1 & 0 \\ 0 & 0 & 1 \end{pmatrix}$$



x-y-Kombination  
als Verkettung!

## Window-Viewport-Transformation

Alte Begriffe der Computergrafik:

- (World-Coordinate-) **Window** heißt ein rechteckiger (Szene-, Welt-) Ausschnitt, der abgebildet werden soll; darf nicht mit dem (Window-Manager-) Window des Sw-Fenstersystems verwechselt werden.
- **Viewport** nennt man den rechteckigen Ausschnitt der Geräte-Ausgabefläche (Bildschirm, Plotter), in dem die Ausgabe erfolgen soll.

Im allgemeinen Fall besteht die Window-Viewport-Transform. aus

- einer Translation des Window an den Ursprung des Welt-Koordinatensystems,
- einer Skalierung auf die Größe des Viewport und
- einer Translation an die Lage des Viewport.

# Codierung von Grafik-Modellen

## Speicherung eines Grafik-Objekts (z.B. eines Würfels):

`cube.cgf` ; Objekt-Name - CGF Version 0.0

8 ; Anzahl Punkte

-1., -1., 1. ; Koord. Pkt[0] etc.

1., -1., 1.

1., 1., 1.

-1., 1., 1.

-1., -1., -1.

1., -1., -1.

1., 1., -1.

-1., 1., -1.

Geometrie der Objektpunkte  
(ihre räumliche Lage)

6 ; Anzahl Flaechen

4, 4, 4, 4, 4, 4 ; Pkte je Flaechen

0, 3, 7, 4 ; Pkt-Id ab Flaechen[0]

1, 0, 4, 5

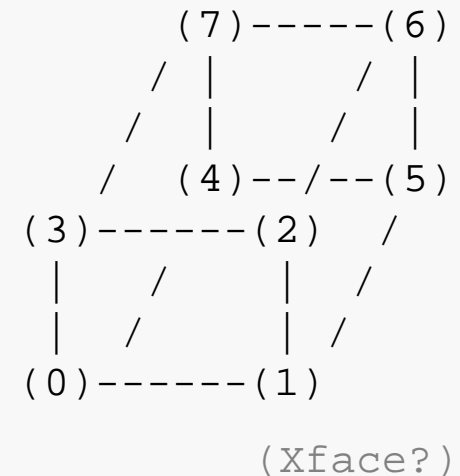
2, 3, 0, 1

3, 2, 6, 7

4, 7, 6, 5

5, 6, 2, 1

Topologie der Objektpunkte  
(Beziehungen zwischen ihnen)



# Codierung von Grafik-Modellen

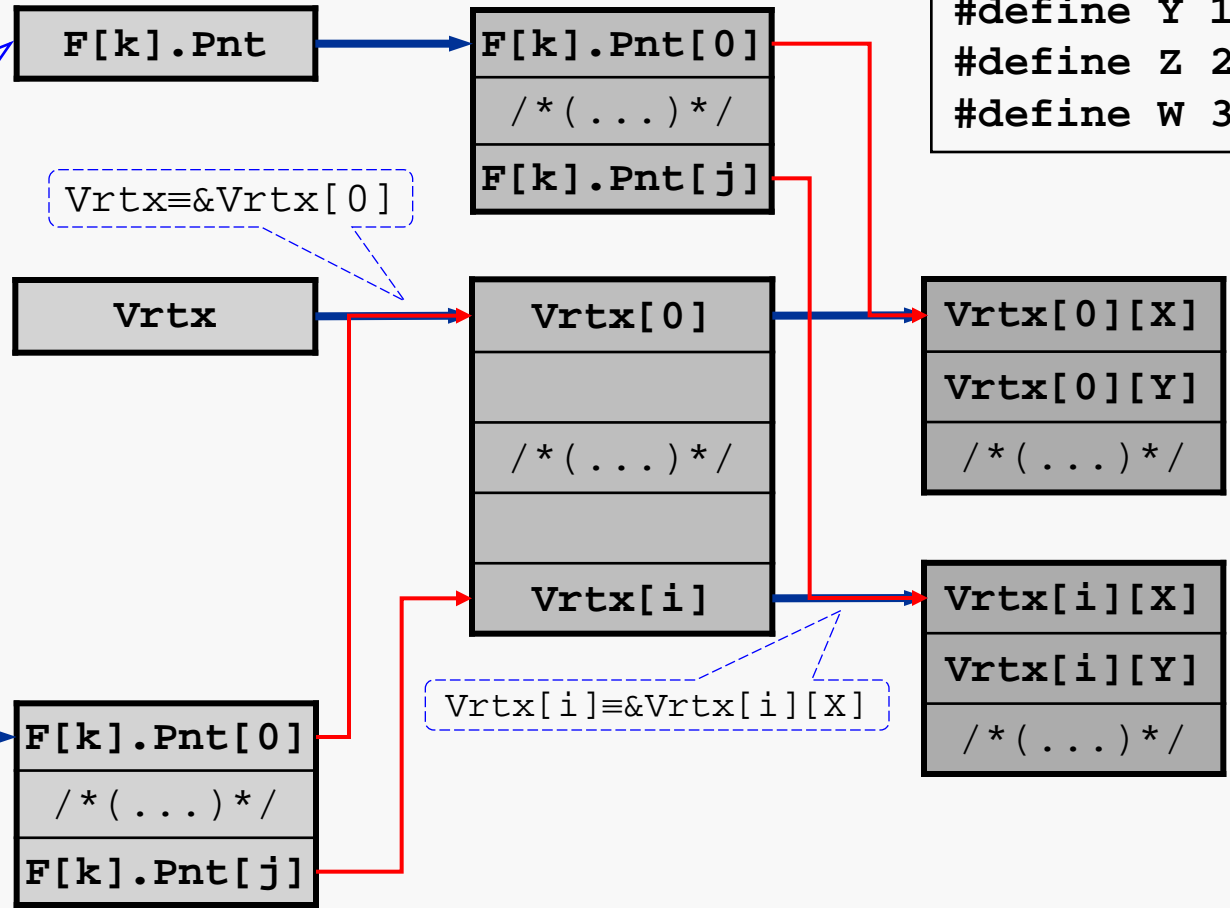
Codierung d. Objekt-/Eckpkt-Zuordnung prinzipiell wählbar:  
 (Bsp.: Eckpunkte  $\text{Pnt}[j]$  der Fläche  $\text{F}[k]$ )

**Pnt als float\*\*:**  
 Codierung der  
 Objektpkt-Identität,  
 minimale Abstraktion

**Pnt als float\*\*\*:**  
 Beibehaltung der  
 Reihenfolge in  $\text{Vrtx}$   
 auf gleich viel  
 Speicherplatz

```

#define X 0
#define Y 1
#define Z 2
#define W 3
    
```



$\text{Vrtx} \equiv \&\text{Vrtx}[0]$

$\text{Vrtx}[i] \equiv \&\text{Vrtx}[i][X]$

$\text{F}[k].\text{Pnt} \equiv \&\text{F}[k].\text{Pnt}[0]$





Allgemeine programm-interne Darstellg. eines 3D-Objektes:

<pre>typedef struct {   int      nPnt; //Anzahl Eckpunkte   float   ***Pnt; //Punkt-Indizes   char     symbol; //Zeichn f. Konsole } Polygon;</pre>	<pre>typedef char String[LENGTH];</pre> <p>stellv. für Flächen-Eigensch.: Farbe, Textur, Rauigkeit,...</p> <pre>#define DIM      4 #define LENGTH  80</pre>
<p>Als Zeiger: Größen, die zur Compilierungszeit nicht bekannt sein können</p>	<pre>typedef struct {   String   Name; //Obj.-Name, Header   int      nVrtx; //Anzahl Objektpkte   int      nFace; //Anzahl Flaechen   float   **Vrtx; //Objektpunktkoord.   Polygon *Face; //Flaechenliste   float   posMat[DIM*DIM]; //Positionsmatrix } CGFobject;</pre>

Typische Vorgänge beim Laden eines grafischen Objektes:

- Bereitstellung von (Struktur-)Variablen für bekannte Merkmale
- Belegung der (Struktur-)Variablen mit Werten aus Datei
- Sukzessive Speicherplatzreservierung für restliche Merkmale – z.B. (in Funktion mit CGF-Objekt `obj`):  

```
obj->Vrtx=(float**)calloc(obj->nVrtx, sizeof(float *));
```
- Berechnung (i.d.R. auch Speicherung) wiederholt benötigter, abhängiger Merkmale – z.B. (vgl. Übungen)
  - **Bounding Box** (umhüllender Quader, zur schnellen Überprüfg. von Sichtbarkeit im Sichtvolumen, Verdeckung, Kollision etc.)
  - **Flächennormalen** (zur Ermittlung der Lage gegenüber Lichtquellen oder dem Augenpunkt, z.B. zur Eliminierung abgewandter Objektflächen – engl. *back face culling*)

In den Naturwissenschaften häufig: Rechnen mit 3D-Vektoren und -Punkten –z.B.: Stärke, Richtung d. Gravitation  $g(x,y,z)$  an einem bestimmten Punkt im Weltraum  $p(x,y,z)$

Darstellung von 3D-Vektoren und -Punkten meist identisch: Zahlentripel  $(x, y, z)$  – aber:

- Vektoren haben Betrag und Richtung, aber keine Position.
- Punkte haben Position, aber weder Betrag noch Richtung.

Typische Umgehung der Unwegsamkeit: Darstellung eines Punktes über seinen Ortsvektor, d.h. über seinen *Versatz* gegenüber d.Koordinaten-Ursprung (V.-Betrag, V.-Richtung!)

Verbleibendes Problem: Darstellung bei Verwendung mehrerer Koordinatensysteme.

⇒ Erweiterung des Begriffs des (3D-)Koordinatensystems:

Ein *Coordinate Frame* (CF, Koord.rahmen,-netz) besteht aus

- 3 senkrecht zueinander stehenden Einheitsvektoren  $\underline{i}, \underline{j}, \underline{k}$
- einem besonderen Punkt  $\varphi$ , dem Ursprung (engl. *origin*).

( $\underline{i}, \underline{j}, \underline{k}, \varphi$  können nur über andere CF spezifiziert werden!)

„Homogene“ Vektor- u. Punkt-Darstellung (4 Komponenten):

$$\text{Vektor } \underline{v} = v_1 \underline{i} + v_2 \underline{j} + v_3 \underline{k} = [v_1, v_2, v_3, 0]^T$$

$$\text{Punkt } \underline{p} = p_1 \underline{i} + p_2 \underline{j} + p_3 \underline{k} + \varphi = [p_1, p_2, p_3, 1]^T$$

Übereinstimmend mit bisherigen Feststellungen (vgl. Ortsv.):

- Die Differenz zweier Punkte ist ein Vektor.
- Die Summe eines Punktes und eines Vektors ist ein Punkt.
- Die Summe zweier Vektoren ist ein Vektor.
- Skalierung eines Vektors ist sinnvoll.
- Addition von Punkten ist nicht sinnvoll / nicht zulässig.
- Jede Linearkombination von Vektoren ergibt einen Vektor.

Zur Erinnerung:

- **Linearkombination** von Vektoren = Summe skaliertter Vektoren:

$$\underline{v} = \alpha_1 \underline{v}_1 + \alpha_2 \underline{v}_2 + \dots (\alpha_i \in \mathbf{R})$$

- **Affine Kombination** von Vektoren = Summe skaliertter Vektoren mit Summe der Skalierungsfaktoren =1:

$$\underline{v} = \alpha_1 \underline{v}_1 + \alpha_2 \underline{v}_2 + \dots (\alpha_i \in \mathbf{R}, \Sigma \alpha_i = 1)$$

- **Konvexe Kombination** von Vektoren = Summe skaliertter Vektoren mit Summe der Skalierungsfaktoren =1 und mit nichtnegativen Skalierungsfaktoren :

$$\underline{v} = \alpha_1 \underline{v}_1 + \alpha_2 \underline{v}_2 + \dots (\alpha_i \in \mathbf{R}, \Sigma \alpha_i = 1, \alpha_i \geq 0)$$

Affine u. konvexe Kombinationen von Punkten sind zulässig!

# 3D-Punkt-Transformationen

## 3D-Punkt-Transformationen und ihre Inversen:

● Translation:

$$\begin{pmatrix} 1 & 0 & 0 & 0 \\ 0 & 1 & 0 & 0 \\ 0 & 0 & 1 & 0 \\ 0 & 0 & 0 & 1 \end{pmatrix} = \begin{pmatrix} 1 & 0 & 0 & -t_x \\ 0 & 1 & 0 & -t_y \\ 0 & 0 & 1 & -t_z \\ 0 & 0 & 0 & 1 \end{pmatrix} \cdot \begin{pmatrix} 1 & 0 & 0 & t_x \\ 0 & 1 & 0 & t_y \\ 0 & 0 & 1 & t_z \\ 0 & 0 & 0 & 1 \end{pmatrix}$$

● Skalierung:

$$\begin{pmatrix} 1 & 0 & 0 & 0 \\ 0 & 1 & 0 & 0 \\ 0 & 0 & 1 & 0 \\ 0 & 0 & 0 & 1 \end{pmatrix} = \begin{pmatrix} 1/s_x & 0 & 0 & 0 \\ 0 & 1/s_y & 0 & 0 \\ 0 & 0 & 1/s_z & 0 \\ 0 & 0 & 0 & 1 \end{pmatrix} \cdot \begin{pmatrix} s_x & 0 & 0 & 0 \\ 0 & s_y & 0 & 0 \\ 0 & 0 & s_z & 0 \\ 0 & 0 & 0 & 1 \end{pmatrix}$$

● Scherung:  
(entlang x)

$$\begin{pmatrix} 1 & 0 & 0 & 0 \\ 0 & 1 & 0 & 0 \\ 0 & 0 & 1 & 0 \\ 0 & 0 & 0 & 1 \end{pmatrix} = \begin{pmatrix} 1 & -q & 0 & 0 \\ 0 & 1 & 0 & 0 \\ 0 & 0 & 1 & 0 \\ 0 & 0 & 0 & 1 \end{pmatrix} \cdot \begin{pmatrix} 1 & q & 0 & 0 \\ 0 & 1 & 0 & 0 \\ 0 & 0 & 1 & 0 \\ 0 & 0 & 0 & 1 \end{pmatrix}$$

evtl. beteiligte  
Elemente  
nach  
Verkettung  
mehrerer  
eindimens.  
Scherungen

Reihenfolge der Transformationen entscheidend – z.B.:

- Skalierung mit anschließender Translation:

$$\begin{pmatrix} 1 & 0 & 0 & t_x \\ 0 & 1 & 0 & t_y \\ 0 & 0 & 1 & t_z \\ 0 & 0 & 0 & 1 \end{pmatrix} \cdot \begin{pmatrix} s_x & 0 & 0 & 0 \\ 0 & s_y & 0 & 0 \\ 0 & 0 & s_z & 0 \\ 0 & 0 & 0 & 1 \end{pmatrix} = \begin{pmatrix} s_x & 0 & 0 & t_x \\ 0 & s_y & 0 & t_y \\ 0 & 0 & s_z & t_z \\ 0 & 0 & 0 & 1 \end{pmatrix}$$

- Translation mit anschließender Skalierung:

$$\begin{pmatrix} s_x & 0 & 0 & 0 \\ 0 & s_y & 0 & 0 \\ 0 & 0 & s_z & 0 \\ 0 & 0 & 0 & 1 \end{pmatrix} \cdot \begin{pmatrix} 1 & 0 & 0 & t_x \\ 0 & 1 & 0 & t_y \\ 0 & 0 & 1 & t_z \\ 0 & 0 & 0 & 1 \end{pmatrix} = \begin{pmatrix} s_x & 0 & 0 & s_x t_x \\ 0 & s_y & 0 & s_y t_y \\ 0 & 0 & s_z & s_z t_z \\ 0 & 0 & 0 & 1 \end{pmatrix}$$

[ s.o.: Das Matrizenprodukt ist nicht kommutativ! ]

# 3D-Punkt-Transformationen

- Verwendung eines Rechts-Systems (in der CG wählbar):  
Rotation positiv gegen d. Uhrzeigersinn bei Blickrichtung vom positiven Teil der Rotationsachse zum Koordinaten-Ursprung

- Herleitung der Rotationsmatrizen (s.o.):

$$A' = A \cdot \cos\theta - B \cdot \sin\theta$$

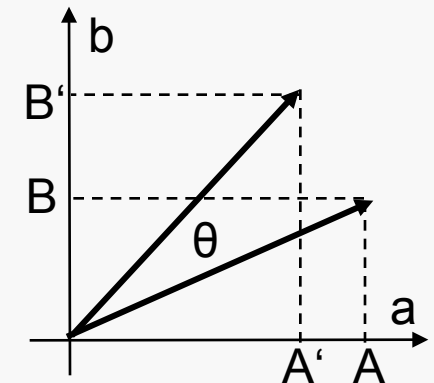
$$B' = A \cdot \sin\theta + B \cdot \cos\theta$$

- Rotation um die x-Achse:  
(a  $\Rightarrow$  y; b  $\Rightarrow$  z)

$$\begin{pmatrix} 1 & 0 & 0 & 0 \\ 0 & \cos\theta_x & -\sin\theta_x & 0 \\ 0 & \sin\theta_x & \cos\theta_x & 0 \\ 0 & 0 & 0 & 1 \end{pmatrix}$$

- Rotation um die y-Achse:  
(a  $\Rightarrow$  z; b  $\Rightarrow$  x)

$$\begin{pmatrix} \cos\theta_y & 0 & \sin\theta_y & 0 \\ 0 & 1 & 0 & 0 \\ -\sin\theta_y & 0 & \cos\theta_y & 0 \\ 0 & 0 & 0 & 1 \end{pmatrix}$$



„Rechte-  
Hand-Regel“





- Rotation um die z-Achse (vgl. 2D):  
( $a \Leftrightarrow x$  bzw.  $b \Leftrightarrow y$ )

$$\begin{pmatrix} \cos\theta_z & -\sin\theta_z & 0 & 0 \\ \sin\theta_z & \cos\theta_z & 0 & 0 \\ 0 & 0 & 1 & 0 \\ 0 & 0 & 0 & 1 \end{pmatrix}$$

Beobachtungen an den Rotationsmatrizen:

- Die letzte Spalte ist gleich jener einer Einheitsmatrix (Platz für Translationswerte).
- Zeile und Spalte, die der jeweiligen Drehachse entsprechen, sind identisch mit der Zeile u. der Spalte einer Einheitsmatrix (d.h.: keine Veränderung für diese Koordinate).
- Besonders interessanter Spezialfall:  
Rotation um Achse durch den Koordinaten-Ursprung und einen beliebigen Punkt:

- Affine Transformationen ( $AT_n$ ) sind Punkt-Transformationen, die Linearkombinationen der kartesischen Koordinaten von Punkten bilden; sie sind die am häufigsten angewandten Transformationen in der CG.
- Translation, Rotation, Skalierung und Scherung sind  $AT_n$ .
- $AT_n$  erhalten affine (und konvexe) Punkt-Kombinationen.
- $AT_n$  erhalten gerade Linien und Ebenen.
- $AT_n$  erhalten Parallelität von Linien und Ebenen; Translation und Rotation erhalten darüber hinaus auch die Längen von Linien und die Winkel zwischen ihnen.
- $AT_n$  erhalten Teilungsverhältnisse von Strecken. (Spezialfall: mittiger Schnittpunkt von Quadrat-/ Würfel-Diagonalen bildet sich ab auf mittigen Schnittpunkt der Parallelogramm-/Parallelepipiped-Diagonalen)

- 2D-ATn multiplizieren den Flächeninhalt transformierter 2D-Objekte mit der Determinanten ihrer Matrix; 3D-ATn verändern entsprechend das Objekt-Volumen mit  $|\det M|$
- Multiplikation einer bel. Anzahl der Matrizen mehrerer ATn ergibt die Matrix einer wirkungsgleichen AT.
- Die Transformation, die eine AT rückgängig macht, ist ebenfalls eine AT; ihre Matrix-Darstellung ist die inverse Matrix der ursprünglichen AT.
- Jede AT läßt sich aus einer (bel.) vorgegebenen Folge v. Elementar-ATn zusammensetzen –z.B.: ( $\Leftarrow$  Leserichtung!)  
 $M = (\text{Scherung}) \cdot (\text{Skalierung}) \cdot (\text{Rotation}) \cdot (\text{Translation})$
- Die Spalten der AT-Matrix enthalten das transformierte CF ( $\equiv$  transformierte Einheitsmatrix!).
- ATn lassen sich immer in Matrixform darstellen; ihre letzte Zeile hat immer die Form:  $[ 0 \dots 0 \ 1 ]$ .

# 3D-Sicht, Projektionen

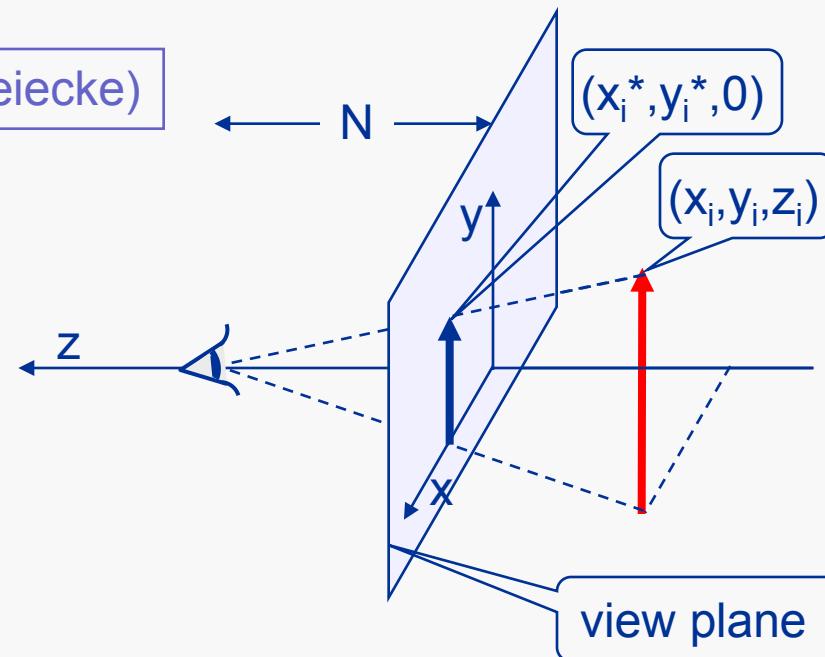
Transformationen, deren Matrix als letzte Zeile nicht die Form:  $[ 0 \dots 0 \ 1 ]$  hat, gehören zur allgemeineren Klasse der **perspektivischen Transformationen**.

Perspektivische Projektion von Punkten  $(x_i, y_i, z_i)$  auf  $(x_i^*, y_i^*, 0)$  in der Projektionsebene  $z=0$  mit Proj.zentrum („Augenpunkt“) bei  $z=N$  ( $N>0$ ) in einem Rechts(koordinaten)system:

$$x_i^*/x_i = y_i^*/y_i = N/(N-z_i) \quad \text{(ähnliche Dreiecke)}$$

Versuch der Bildung eines Matrizenprodukts:

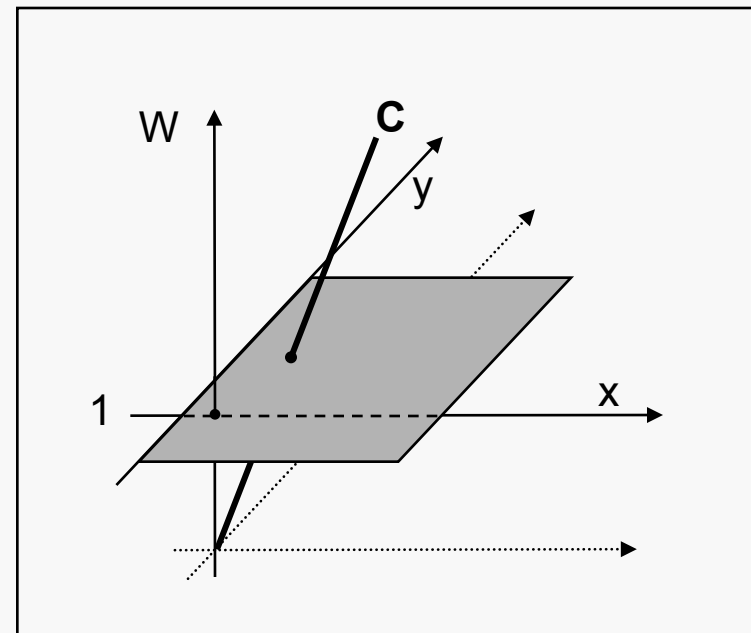
$$\begin{pmatrix} N & 0 & 0 & 0 \\ 0 & N & 0 & 0 \\ 0 & 0 & 0 & 0 \\ 0 & 0 & -1 & N \end{pmatrix} \cdot \begin{pmatrix} x_i \\ y_i \\ z_i \\ 1 \end{pmatrix} = \begin{pmatrix} Nx_i \\ Ny_i \\ 0 \\ N-z_i \end{pmatrix} = \begin{pmatrix} (N-z_i) \cdot x_i^* \\ (N-z_i) \cdot y_i^* \\ (N-z_i) \cdot 0 \\ (N-z_i) \cdot 1 \end{pmatrix}$$



# 3D-Sicht, Projektionen

Konzept-Erweiterung: Homogene Koordinaten  $[x_i, y_i, z_i, 1]^T$  als Darstellung v. „Punkt-Familien“  $[w \cdot x_i, w \cdot y_i, w \cdot z_i, w]^T$ ,  $w \neq 0$ :

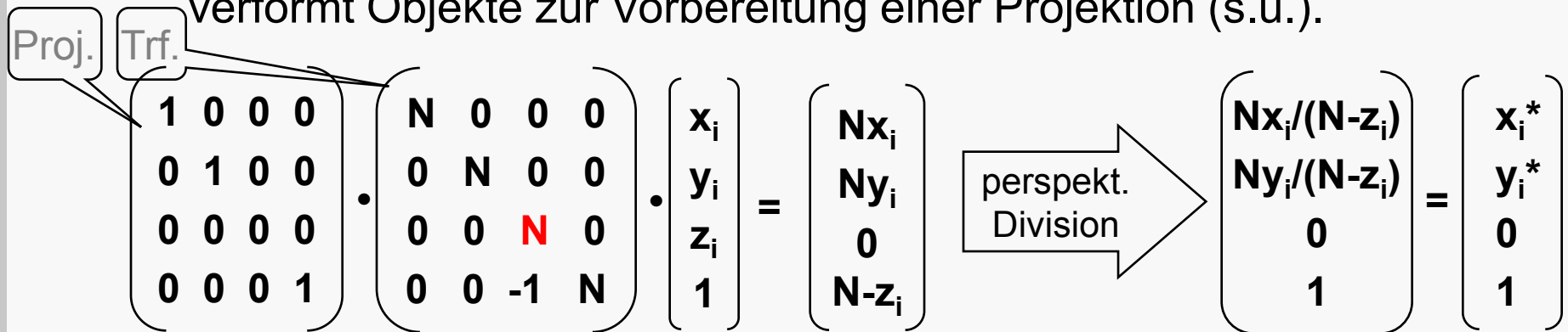
- Wechsel von kartesischen zu homogenen Koordinaten durch Anhängen einer 1 (oder einer anderen Zahl  $\neq 0$ , mit der zuvor alle Punkt-Koordinaten multipliziert wurden).
- Wechsel von homogenen zu kartesischen Koordinaten durch Division durch die letzte Komponente („perspektivische Division“, auch: „Homogenisieren“, engl. *homogenize*) und Weglassen dieser letzten Komponente.



Geometrische Deutung 2D-Fall: Punkt  $C \in (x, y)$  wird in homog. Koord. als Gerade  $C \in (x_h, y_h, w_h)$  mit  $x_h = w_h \cdot x$ ,  $y_h = w_h \cdot y$  dargestellt.

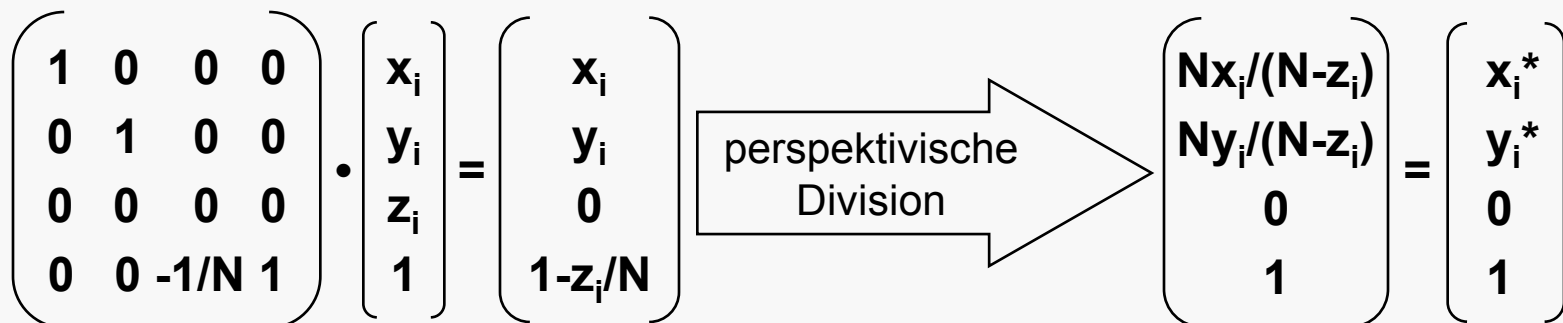
## Begriffliche und rechnerische Trennung:

Die (hier: perspektivische) Projektion reduziert die Anzahl von Objekt-Dimensionen; die perspektivische Transformation verformt Objekte zur Vorbereitung einer Projektion (s.u.).



$$\begin{pmatrix} 1 & 0 & 0 & 0 \\ 0 & 1 & 0 & 0 \\ 0 & 0 & 0 & 0 \\ 0 & 0 & 0 & 1 \end{pmatrix} \cdot \begin{pmatrix} N & 0 & 0 & 0 \\ 0 & N & 0 & 0 \\ 0 & 0 & N & 0 \\ 0 & 0 & -1 & N \end{pmatrix} \cdot \begin{pmatrix} x_i \\ y_i \\ z_i \\ 1 \end{pmatrix} = \begin{pmatrix} Nx_i \\ Ny_i \\ 0 \\ N-z_i \end{pmatrix} \xrightarrow{\text{perspekt. Division}} \begin{pmatrix} Nx_i/(N-z_i) \\ Ny_i/(N-z_i) \\ 0 \\ 1 \end{pmatrix} = \begin{pmatrix} x_i^* \\ y_i^* \\ 0 \\ 1 \end{pmatrix}$$

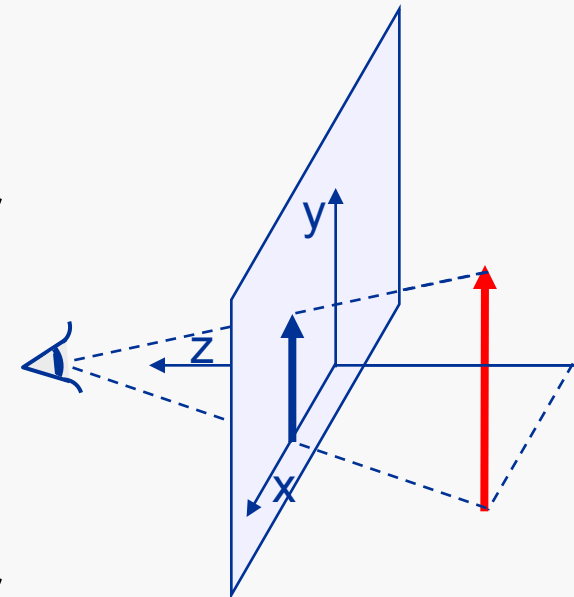
**Namensgebung:** Koordinaten „homogen“, denn sie ermöglichen auch Perspektive als Matrizen-Multiplikation i.d. Grafik-Pipeline.



$$\begin{pmatrix} 1 & 0 & 0 & 0 \\ 0 & 1 & 0 & 0 \\ 0 & 0 & 0 & 0 \\ 0 & 0 & -1/N & 1 \end{pmatrix} \cdot \begin{pmatrix} x_i \\ y_i \\ z_i \\ 1 \end{pmatrix} = \begin{pmatrix} x_i \\ y_i \\ 0 \\ 1-z_i/N \end{pmatrix} \xrightarrow{\text{perspektivische Division}} \begin{pmatrix} Nx_i/(N-z_i) \\ Ny_i/(N-z_i) \\ 0 \\ 1 \end{pmatrix} = \begin{pmatrix} x_i^* \\ y_i^* \\ 0 \\ 1 \end{pmatrix}$$

## Anmerkungen zur Perspektive:

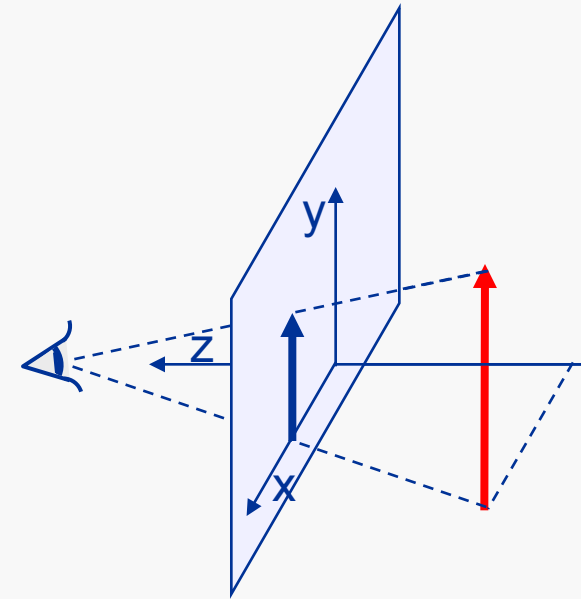
- Die perspektivische Division bewirkt, daß weiter entfernte Objekte ( $z_i$  groß) in der Projektion kleiner erscheinen.
- Verschiebung d. Projektionszentrums (N) verändert die Abbildungs-Unterschiede zwischen nah und fern.
- Verschiebung der Proj.ebene entlang der z-Achse (auf  $z \neq 0$ ) verändert nur den Abb.-Maßstab. (Dreiecke bleiben ähnlich.)
- Auslassen der perspektiv. Transformation erzeugt Parallelprojektion (orthograph. P., engl. *orthographic p.*); das entspricht einer Abb. mit Proj.zentr. im Unendlichen.



$$\begin{pmatrix} Nx_i/(N-z_i) \\ Ny_i/(N-z_i) \\ 1 \end{pmatrix} = \begin{pmatrix} x_i^* \\ y_i^* \\ 1 \end{pmatrix}$$

## Weitere Anmerkungen zur Perspektive:

- Gerade Linien und ebene Flächen werden als solche abgebildet: Punkt-Kollinearität und -Komplanarität bleiben erhalten; Teilungsverhältnisse von Strecken und Flächen bleiben dagegen nicht erhalten.
- Parallele Linien, die auch parallel zur Projektionsebene liegen, werden als Parallelen abgebildet; sonst laufen sie in einem Punkt zusammen, dem jeweil. Fluchtpunkt (engl. *vanishing point*).
- Geraden, die das Projektionszentrum enthalten, werden auf Punkte projiziert.
- Ebenen, die d. Proj.zentrum enthalten, werden auf Geraden projiziert.





# 3D-Sicht, Projektionen

In Praxis und Literatur meist verbreitetes Paradigma:

Perspektivische Projektion v. Punkten  $(x_i, y_i, z_i)$  auf  $(x_i^*, y_i^*, -N)$  i.d. Projektionsebene  $z = -N$  ( $N > 0$ ) mit Projektionszentrum am Koordinaten-Ursprung eines Rechts(koordinaten)systems:

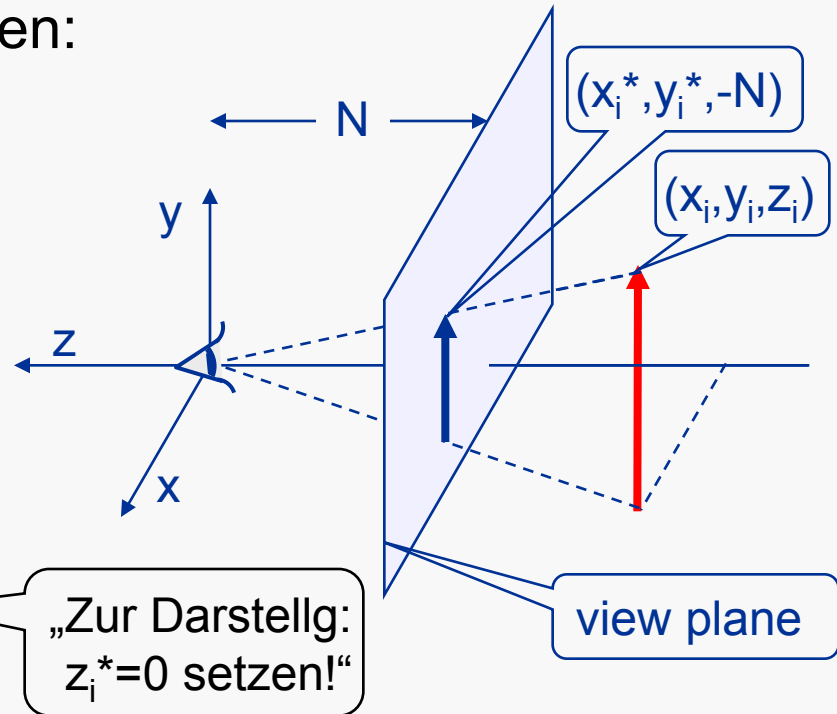
$$x_i^* / x_i = y_i^* / y_i = N / (-z_i)$$

Verwendung homogener Koordinaten:

$$\begin{pmatrix} N & 0 & 0 & 0 \\ 0 & N & 0 & 0 \\ 0 & 0 & N & 0 \\ 0 & 0 & -1 & 0 \end{pmatrix} \cdot \begin{pmatrix} x_i \\ y_i \\ z_i \\ 1 \end{pmatrix} = \begin{pmatrix} Nx_i \\ Ny_i \\ Nz_i \\ -z_i \end{pmatrix}$$

perspektivische Division

$$\begin{pmatrix} Nx_i / (-z_i) \\ Ny_i / (-z_i) \\ Nz_i / (-z_i) \\ -z_i / (-z_i) \end{pmatrix} = \begin{pmatrix} x_i^* \\ y_i^* \\ -N \\ 1 \end{pmatrix}$$



# 3D-Sicht, Projektionen

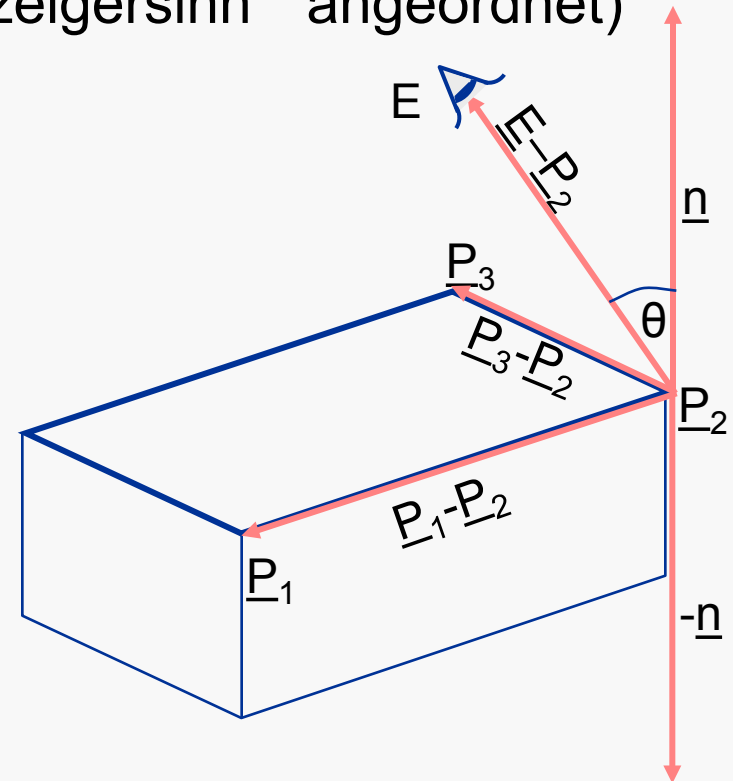
Orientierung einer Objektfläche mit den Eckpunkten  $\underline{P}_1, \underline{P}_2, \underline{P}_3$  (bei Draufsicht: gegen den Uhrzeigersinn angeordnet) gegenüber dem Augenpunkt E:

Nach außen gerichtete Normale  $\underline{n}$ :

$$\underline{n} = (\underline{P}_3 - \underline{P}_2) \times (\underline{P}_1 - \underline{P}_2)$$

Winkel zwischen der Normalen und dem Verbindungsvektor vom Eckpunkt  $P_2$  zum Augenpunkt E:

$$\cos \theta = \underline{n} \cdot (\underline{E} - \underline{P}_2) / (|\underline{n}| \cdot |\underline{E} - \underline{P}_2|)$$



$$\underline{n} \cdot (\underline{E} - \underline{P}_2) \geq 0 \Leftrightarrow -90^\circ \leq \theta \leq 90^\circ \Leftrightarrow \text{sichtbare Fläche}$$

$$\underline{n} \cdot (\underline{E} - \underline{P}_2) < 0 \Leftrightarrow 90^\circ < \theta < 270^\circ \Leftrightarrow \text{nicht sichtbare (Rück-)Fläche}$$